



Artikel

# Ein effizientes und umweltfreundliches Verfahren zur elektrophilen Thiocyanierung von Anilinen und 1-(Substituierten benzyliden)-2-phenyl Hydrazine

AMM Mallikarjunaswamy und <sup>1</sup>, Gouthami Kuruvalli <sup>2</sup>, Khajamohiddin Syed <sup>3,\*</sup> , Vaddi Damodara Reddy<sup>3,3</sup> Vipin A. Nair 4,\*

- Abteilung für Chemie, Fakultät für angewandte Wissenschaften, REVA-Universität, Yelahanka, Bangalore 560064, Karnataka, Indien
- Abteilung für Biotechnologie, Fakultät für angewandte Wissenschaften, REVA-Universität, Yelahanka, Bangalore 560064, Karnataka, Indien
- Institut für Biochemie und Mikrobiologie, Fakultät für Naturwissenschaften, Landwirtschaft und Ingenieurwissenschaften, University of Zululand. KwaDlangezwa 3886. Südafrika
- Fakultät für Biotechnologie, Amrita Vishwa Vidyapeetham, Amritapuri Campus, Clappana, Kollam 690525, Kerala, Indien
- \* Korrespondenz: khajamohiddinsyed@gmail.com (KS); vn74nr@gmail.com (VAN)

Zusammenfassung: Thiocyanate bilden eine wichtige Klasse organischer Verbindungen, die häufig in der Natur vorkommen. Produkte, die eine ausgezeichnete antimikrobielle Aktivität aufweisen. Die elektrophile Thiocyanierung ist eine der effektivste Methode zur Einführung einer -SCN-Funktionsgruppe in das organische Stammmolekül. In dieser Arbeit untersuchten wir eine umweltfreundliche und hocheffiziente Methode zur Thiocyanierung von Anilinen und 1-(substituierte Benzylidene)-2-phenylhydrazine unter Verwendung von kommerziell erhältlichem N-Bromsuccinimid (NBS) und Kaliumthiocyanat (KSCN). Das optimierte Protokoll lieferte Thiocyanate mit guten Regioselektivität und hervorragende Ausbeuten im Vergleich zu den verfügbaren Methoden.

Stichwörter: N-Bromsuccinimid; KSCN; aromatische Amine; Schiff-Basen; elektrophile Thiocyanierung



Zitat: Mallikarjunaswamy,

AMM; Kuruvalli, G.; Syed, K.;

Reddy, VD; Nair, VA Ein effizienter
und umweltfreundliches Verfahren für

Elektrophile Thiocyanierung von

Aniline und 1-(Substituierte

Benzyliden)-2-phenylhydrazinen.

Chemistry 2024, 6, 476–488. https://

doi.org/10.3390/chemistry6030027

Wissenschaftlicher Herausgeber: Angelo Frongia

Empfangen: 23. April 2024 Überarbeitet: 23. Mai 2024 Akzeptiert: 26. Mai 2024 Veröffentlicht: 10. Juni 2024



Lizenznehmer MDPI, Basel, Schweiz.

Dieser Artikel ist ein Open Access-Artikel vertrieben unter den Bedingungen und Bedingungen der Creative Commons

Namensnennung (CC BY)-Lizenz (https://creativecommons.org/licenses/by/4.0/).

Copyright: © 2024 bei den Autoren

## 1. Einleitung

Die Thiocyanierung sowohl aromatischer als auch heteroaromatischer Verbindungen stellt eine entscheidende Transformation mit Auswirkungen sowohl auf die organische Synthese als auch auf die Pharmazeutika dar [1,2]. In den letzten Jahren sind schwefelhaltige aromatische Verbindungen aufgrund ihrer vielfältigen biologischen Aktivitäten immer interessanter geworden. Zu diesen Verbindungen zählen Thiocyanate sind eine prominente Klasse, die als Schlüsselbausteine in der Synthese von pharmakologisch Wirkstoffe. Thiocyanate zeigen eine vielseitige Reaktivität, die zur Bildung von

Thiole [3], Sulfonylchloride [4], Sulfide [5], Trifluormethyl- (oder Difluormethyl-)sulfide [6,7], Disulfide [8], Phosphonothioate [9] und andere schwefelhaltige Heterocyclen [10,11]. Diese funktionelle Gruppe ist in zahlreichen biologisch aktiven

Naturstoffe [12–17] und synthetische Verbindungen, die sie als potenzielle Enzyme aufweisen Inhibitoren (Abbildung 1), deren Anwendungsgebiete von der Behandlung der Chagas-Krankheit [18,19] bis Krebs [20,21] bis hin zu neueren Überlegungen zu COVID-19 [22].

Zur Thiocyanierung aromatischer Systeme wurden verschiedene Methoden eingesetzt. verschiedene Reagenzien. So gelang beispielsweise die Thiocyanierung von Indolen und Carbazolen unter Verwendung von Ammoniumthiocyanat durch Montmorillonit-K10-Ton-vermittelte Reaktionen [23]. Die Thiocyanierung von Alkoholen, Trimethylsilyl- und Tetrahydropyranylethern wurde unter Verwendung eines Diphenylphosphinit ionische Flüssigkeit [24]. Als Oxidationsmittel wurde Peroxydisulfat-Cu(II) eingesetzt . zur ÿ-Thiocyanierung von Carbonyl- und ÿ-Dicarbonylverbindungen [25]. Die Thiocyanierung von aromatischen Verbindungen wurde durch anodische Oxidation des Thiocyanatanions zu SCN durchgeführt. Radikal [26]. Indole und Pyrrol reagieren mit Ammoniumthiocyanat im

Chemistry 2024, 6, ZUR PEER-REVIEW Chemie 2024, 6

zum SCN-Radikal [26]. Indole und Pyrrol reagieren mit Ammoniumthiocyanat in Gegekyvert zoes aufer in the earespieche faden in the whigever in der genyvert toes aufer in the earespieche faden in the whigever in the general factor of the properties of the properties

ABBIICIUM ABCAICRET IS (ADREP LISTEMANICE ETITIO ET TO MAINTE ALE ETITIO ET TO MAINTE ETITO ETI

HDijecke Skritcheset Ammibiografiatovanilat, Wirchonsebyere, Methredendausse biesti (2) ergabrodan erodyktedurchdransithlerenger gwidatioypoel Trigory Säatanio eniem adderen-Axidationamittelin. Mietrait Aremeniumbehieogenate ingesetztevued er odiefeste [3dd: Einendettliche Weldersservagikanntebbesoschieftwardbenfalls die eine Mensiche ber jerzankanaterieruzedingungenuntedverwendungunen Bischrighigen Eindreies Vanean during and interest that the property of the property o mitu Drevner in einem eller banner den une auf in den generate Esseinsäure die Front mit mit mit mit mit seine Herbeeten intriniet tu Aliga Interend in met des ettingungen whiteleneauch south Pirathylezandicassexylete in eine my machanitic medie morriei at 136 reficht, darkiedrehelängerahurgten aber zeine mennessemetrehen berziehten fähgeren Anikawallentessichtlung einceenneervertechusbeutersetzenlanliniumoxid unterflychet 1381 of ian DROI Vermittlyngriden Thireyaniabyng deresybstrata as pat vor dar Skipstraten 39 erhalten bängen der Elektronendoporfähigkeit des aromatischen This granie the property of the state of the periodischer Jodsäure lieferte gute Ausbeuten, aber Chloroform wurde als Lösungsmittel

Säure wurde die Reaktion in einem wässrigen Medium durchgeführt [42]. Dichloridodobenzol fördert die Reaktion bei 0 °C in einem Dichlormethanmedium [43]. Trotz dieser Fortschritte weisen die verwendeten Methoden eine oder mehrere Einschränkungen auf, wie z. B. schlechte Ausbeute, enge Substratbreite , halogenierte oder toxische Lösungsmittel, Bedarf an einer übermäßigen Menge eines starken Oxidationsmittels, saure Bedingungen, heterogene Reaktionsphase, schlechte Leistung, wasserfreies Medium, lange Reaktionszeit, inerte Atmosphäre und strenge Reaktionsbedingungen mit Schwierigkeiten bei der Skalierbarkeit. Deshalb besteht ein unerfüllter Bedarf an der Entwicklung eines effizienten Prozesses zur Synthese von Thiocyanatderivaten von Anilinen. Ein einfaches Verfahren zur Thiocyanierung wurde an Arensubstraten unter Verwendung von N-Thiocyanatosuccinimid (NTS) demonstric Der Anwendungsbereich dieser Strategie wurde jedoch für Anilinderivate und 1-(substituierte Benzylidene)-2-Phenylhydrazine nicht umfassend erforscht. Wir haben uns daher entschlossen, die elektrophilen Thiocyanierungsreaktionen dieser Substrate unter umweltfreundlichen Bedingungen unter Verwendung von N-Bromsuccinimid und Kaliumthiocyanat in einem Ethanolmedium zu untersuchen.

#### 2. Experimenteller Teil 2.1.

Materialien und Methoden

Alle Chemikalien wurden von kommerziellen Lieferanten bezogen und ohne weitere Reinigung verwendet. Die Reaktionen wurden in ofengetrockneten Glasgeräten durchgeführt und unter den entsprechenden atmosphärischen Bedingungen aufbewahrt. Um den Verlauf der Reaktionen zu überwachen, wurde Dünnschichtchromatographie (TLC) eingesetzt, genauer gesagt wurden 0,25 mm Merck Silica Gel 60 F254-Platten verwendet, und die Visualisierung wurde mit UV-Licht erreicht. Bei der Säulenchromatographie wurde 60–120 Mesh-Silicagel als stationäre Phase verwendet. Die Elution wurde mit einer Mischung aus Hexan und Ethylacetat als mobiler Phase durchgeführt. Kernspinresonanzspektren (NMR) wurden mit einem Jeol ECZ 400R-Spektrometer aufgezeichnet, das bei 400 MHz für 1H-NMR und 100 MHz für 13C- NMR arbeitete . CDCl3 wurde als Lösungsmittel verwendet und Tetramethylsilan (TMS) diente als innerer Standard. Chemische Verschiebungen (ÿ) wurden relativ zu Restlösungsmittelsignalen angegeben, und zwar 7,25 ppm für 1H-NMR und ein Triplett mit einem Zentrum bei 77,00 ppm für 13C -NMR. Die Massenspektrometrieanalyse wurde mit einem ESI- Quadrupol-Flugzeit-Massenspektrometer (Elektrospray-Ionisation) von Agilent durchgeführt. IR-Spektren wurden mit einem Bruker

Alpha II FTIR-Spektralphotometer aufgezeichnet. (i) Allgemeines Verfahren zur Synthese von Thiocyanatoanilin-

Zu einer Lösung von N-Bromsuccinimid (1,0 mmol) in EtOH (10 ml) wurde KSCN (2,1 mmol) gegeben und 5 min bei Raumtemperatur (27 ÿC) gerührt. Zu dieser Lösung wurde substituiertes Anilin (1,0 mmol) gegeben und das Reaktionsgemisch 20 min bei Raumtemperatur (27 ÿC) gerührt. Das Reaktionsgemisch wurde eingeengt, mit Wasser verdünnt und dreimal mit EtOAc extrahiert. Die vereinigten organischen Extrakte wurden unter Vakuum eingeengt und das entstandene Rohprodukt wurde einer Säulenchromatographie an Kieselgel (60–120 Mesh) unterzogen, wobei ein Hexan-Ethylacetat-Gemisch (10:1) als mobile Phase verwendet wurde, um das gewünschte Produkt zu erhalten. 4-

Thiocyanatoanilin **(1a)** [30]: Blassbrauner Feststoff; Ausbeute 98%; Schmp. = 52–53 ÿC; IR (ÿmax, cmÿ1): 3374.27, 2152.01, 1707.83 1625.05, 1594.80, 1495.78, 1428.12, 1361.05, 1301.37, 1221.64, 11 1129,30, 1085,54, 824,74, 676,97; 1H-NMR (400 MHz, CDCl3) ÿ ppm: 7,31–7,34 (m, 2H, Ar), 6,63–6,66 (m, 2H, Ar), 3,97 (s, 2H, NH2); 13C -NMR (100 MHz, CDCl3) ÿ ppm: 148,9, 134,6, 116,2, 112,5, 109,6; HRMS (ESI): m/z berechnet. für C7H6N2S [M + H]+: 151,0252; gefunden: 151.0486.

2-Chlor-4-thiocyanatoanilin **(1b)** [39]: Weißer Feststoff; Ausbeute 96%; Schmp. = 64–66 ÿC; IR (ÿmax, cmÿ1): 3474.59, 3372.59, 3233.14, 2925.76, 2154.54, 2054.68, 1623.93, 1591.81, 1476.32, 1420.75, 1315.22, 1239.46, 1123.23, 1020.23, 902.03, 849.96, 813.39; 1H-NMR (400 MHz, CDCl3) ÿ ppm: 7,48 (d, 1H, Ar), 7,25–7,28 (m, 1H, Ar), 6,75 (d, 1H, Ar), 4,38 (s, 2H, NH2); 13C -NMR (100 MHz, CDCl3) ÿ ppm: 145,4, 133,9, 132,7, 119,8, 116,5, 111,7, 110,1; HRMS (ESI): m/z berechnet. für C7H5ClN2S [M + H]+ : 184,9864; gefunden: 184.9975.

2-Methyl-4-thiocyanatoanilin **(1c)** [42]: Cremeweißer Feststoff; Ausbeute 96%; Schmp. = 68–70 ÿC; IR (ÿmax, cmÿ1): 3449.59, 3368.62, 3246.89, 2924.89, 2150.60, 1628.89, 1592.12, 1568.60, 1491.02, 1454.53, 1402.63, 1296.51, 1153.92, 1091.96, 1032.18, 995.58, 885.14, 814.70, 719.01; 1H-NMR (400 MHz, CDCl3) ÿ ppm: 7,24–7,26 (m, 1H, Ar), 7,20–7,23 (m, 1H, Ar), 6,59–6,68 (m, 1H, Ar), 3,90 (s, 2H, NH2), 2,13 (s, 3H, CH3); 13C- NMR (100 MHz, CDCl3) ÿ ppm: 147,2, 135,1, 132,2, 124,0, 115,8, 112,7, 109,3, 17,3; HRMS (ESI): m/z berechnet für C8H8N2S [M + H]+: 165,0408; gefunden: 165,0509.

4-Methyl-2-thiocyanatoanilin **(1d):** Weißer Feststoff; Ausbeute 97 %; Schmp. = 80–82 ÿC; 1H NMR (400 MHz, CDCl3) ÿ ppm: 7,34 (d, 1H, Ar), 6,56–6,58 (m, 1H, Ar), 6,46–6,50 (m, 1H, Ar), 3,91 (s, 2H, NH2), 2,43 (s, 3H, CH3); 13C NMR (100 MHz, CDCl3) ÿ ppm: 149,5, 143,1, 136,4, 117,4, 113,8, 112,2, 109,1, 21,0; HRMS (ESI): m/z berechnet. für C8H8N2S [M + H]+: 165.0408; gefunden: 165.641.

2,3-Dichlor-4-thiocyanatoanilin **(1e):** gelber Feststoff; Ausbeute 96%; Schmp. = 75–77  $\mbox{\'C}$ ; IR ( $\mbox{\'ymax}$ , cm $\mbox{\'ymax}$ ): 3333.01, 3226.89, 2925.74, 2161.17, 1708.24, 1629.63, 1577.77, 1539.59, 1466.44, 1393.56, 1359.26, 1323.83, 1294.70, 1220.32, 1181.86, 1109.75, 1056.51, 919.81, 813.47, 773.60; 1H-NMR (400 MHz, CDCl3)  $\mbox{\'y}$  ppm: 7,39 (d, 1H, Ar), 6,70 (d, 1H, Ar), 4,50 (s, 2H, NH2); 13C NMR (100 MHz, CDCl3)  $\mbox{\'y}$  ppm: 146,5, 135,5, 132,0, 118,9, 114,1, 110,6, 110,5; HRMS (ESI): m/z berechnet. für C7H4Cl2N2S [M + H]+ : 217,9472; gefunden: 217.0195.

2-Fluor-4-thiocyanatoanilin **(1f):** Blassgelber Feststoff; Ausbeute 95%; Schmp. = 61-63 ÿC; IR (ÿmax, cmÿ1): 3474.59, 3372.59, 3233.14, 2925.76, 2154.54, 2054.68, 1623.93, 1591.81, 1476.32, 1420.75, 1315.22, 1239.46, 1123.23, 1020.23, 902.03, 849.96, 813.39; 1H-NMR (400 MHz, CDCl3) ÿ ppm: 7,19–7,23 (m, 1H, Ar), 7,12–7,16 (m, 1H, Ar), 6,73–6,78 (m, 1H, Ar), 4,09 (s, 2H, NH2); 13C-NMR (100 MHz, CDCl3) ÿ ppm: 152,2, 149,8, 137,6, 129,9, 120,0, 117,4, 111,8; HRMS (ESI): m/z berechnet für C7H5FN2S [M + H]+: 169,0157; gefunden: 169,0281.

4-Fluor-2-thiocyanatoanilin **(1 g):** Blassgelber Feststoff; Ausbeute 96 %; Schmp. = 76–78 °C; 1H-NMR (400 MHz, CDCl3) ÿ ppm: 7,44–7,48 (m, 1H, Ar), 7,26–7,30 (m, 1H, Ar), 6,99–7,05 (m, 1H, Ar), 5,42 (s, 2H, NH2); 13C- NMR (100 MHz, CDCl3) ÿ ppm: 160,0, 119,8, 119,7, 114,0, 113,7, 107,9, 107,6; HRMS (ESI): m/z berechnet. für C7H5FN2S [M + H]+ : 169.0157; gefunden: 169.0281.

3-Chlor-4-thiocyanatoanilin **(1 h):** gelber Feststoff; Ausbeute 97 %; Schmp. = 70–72 °C; IR (ÿmax, cmÿ1): 3474,59, 3372,59, 3233,14, 2925,76, 2154,54, 2054,68, 1623,93, 1591,81, 1476,32, 1420,75, 1315,22, 1239,46, 1123,23, 1020,23, 902,03, 849,96, 813,39; 1H NMR (400 MHz, CDCl3) ÿ ppm: 7,39–7,40 (m, 1H, Ar), 6,75–6,77 (m, 1H, Ar), 6,54–6,57 (m, 1H, Ar), 4,08 (s, 2H, NH2); 13C NMR (100 MHz, CDCl3) ÿ ppm: 150,0, 137,8, 135,4, 116,2, 114,6, 111,2, 108,7; HRMS (ESI): m/z berechnet für C7H5ClN2S [M + H]+: 184,9862; gefunden: 184,9978.

3,5-Dichlor-4-thiocyanatoanilin **(1i):** Cremeweißer Feststoff; Ausbeute 96 %; Schmp. = 65–67 ÿC; IR (ÿmax, cmÿ1): 3408.88, 3333.01, 3226.89, 2925.74, 2161.17, 1708.24, 1629.63, 1577.77, 1539.59, 1466.44, 1393.56, 1359.26, 1323.83, 1294.70, 1220.32, 1181.86, 1109.75, 1056.51, 919.81, 813.47, 773.60; 1H NMR (400 MHz, CDCl3) ÿ ppm: 6.71–6.73 (m, 2H, Ar), 4.15 (s, 2H, NH2); 13C NMR (100 MHz, CDCl3) ÿ ppm: 150.4, 141.7, 114.9, 110.0, 107.9; HRMS (ESI): m/z ber. für C7H4Cl2N2S [M + H]+: 218.9472; gef.: 218.9472. 3-

Methyl-4-thiocyanatoanilin **(1j)** [42]: gelber Feststoff; Ausbeute 96%; Schmp. = 81–83 ÿC; IR (ÿmax, cmÿ1): 3427,48, 3339,89, 3213,03, 2920,65, 2146,96, 1708,08, 1625,62, 1592,74, 1481,86, 1453,57, 1360,12, 1325,91, 1254,65, 1221,13, 1139,17, 1034,00, 858,95, 817,13, 739,36, 671,84; 1H-NMR (400 MHz, CDCl3) ÿ ppm: 7,34 (d, 1H, Ar), 6,56–6,59 (m, 1H, Ar), 6,46–6,50 (m, 1H, Ar), 3,91 (s, 2H, NH2), 2,44 (s, 3H, CH3); 13C- NMR (100 MHz, CDCl3) ÿ ppm: 149,5, 143,1, 136,4, 117,4, 113,8, 112,2, 109,1, 21,0; HRMS (ESI): m/z berechnet für C8H8N2S [M + H]+: 165,0408; gefunden: 165,0754. 2-Methoxy-4-thiocyanatoanilin **(1k):** Weißer

Feststoff; Ausbeute 96 %; Schmp. = 52–54 ÿC; IR (ÿmax, cmÿ1): 3449.59, 3368.62, 3246.89, 2924.89, 2150.60, 1628.89, 1592.12, 1568.60, 1491.02, 1454.53, 1402.63, 1296.51, 1153.92, 1091.96, 1032.18, 995.58, 885.14, 814.70, 719.01; 1H-NMR (400 MHz, CDCl3) ÿ ppm: 6,99–7,02 (m, 1H, Ar), 6,94 (d, 1H, Ar), 6,64–6,68 (m, 1H, Ar), 4,08 (s, 2H, NH2), 3,86 (s, 3H, OCH3); 13C- NMR (100 MHz, CDCl3) ÿ ppm: 147,7, 139,1, 126,9, 115,0, 114,6, 112,5, 109,0, 55,8; HRMS (ESI): m/z berechnet für C8H8N2OS [M + H]+: 181,0352; gefunden: 181,0760.

179,095. 4-Brom-2-thiocyanatoanilin **(1m):** gelber Feststoff; Ausbeute 98 %; Schmp. = 73–75 ÿC; IR (ÿmax, cmÿ1): 3474,59, 3372,59, 3233,14, 2925,76, 2154,54, 2054,68, 1623,93, 1591,81, 1476,32, 1420,75, 1315,22, 1239,46, 1123,23, 1020,23, 902,03, 849,96, 813,39; 1H NMR (400 MHz, CDCl3) ÿ ppm: 7,44–7,48 (m, 1H, Ar), 7,26–7,30 (m, 1H, Ar), 6,99–7,05 (m, 1H, Ar), 5,49 (s, 2H, NH2); 13C NMR (100 MHz, CDCl3) ÿ ppm: 160,0, 119,8, 119,7, 114,0, 113,7, 107,9, 107,6; HRMS (ESI): m/z berechnet für C7H5BrN2S [M + H]+: 230,9357;

gefunden: 230,9581. 4-Methoxy-2-thiocyanatoanilin **(1n):** Blassgelber Feststoff; Ausbeute 96 %; Schmp. =  $100-102\ \ddot{y}$ C; 1H NMR (400 MHz, CDCl3)  $\ddot{y}$  ppm: 6,99–7,02 (m, 1H, Ar), 6,94 (d, 1H, Ar), 6,65–6,67 (m, 1H, Ar), 4,08 (s, 2H, NH2), 3,86 (s, 3H, OCH3); 13C NMR (100 MHz, CDCl3)  $\ddot{y}$  ppm: 147,7, 139,1, 126,9, 115,0, 114,6, 112,5, 109,0, 55,8; HRMS (ESI): m/z berechnet für C8H8N2OS [M + H]+:

181,0357; gefunden: 181.0557. 2,4-Dimethyl-6-thiocyanatoanilin **(10):** Weißer Feststoff; Ausbeute 96%; Schmp. = 75–76  $\rm \ddot{y}C$ ; 1H NMR (400 MHz, CDCl3)  $\rm \ddot{y}$  ppm: 7.21–7.23 (m, 1H, Ar), 6.92–6.94 (m, 1H, Ar), 5.65 (s, 2H, NH2), 2.50 (s, 3H, CH3), 2.35 (s, 3H, CH3); 13C NMR (100 MHz, CDCl3)  $\rm \ddot{y}$  ppm: 164.8, 148.9, 132.0, 131.3, 128.4, 128.3, 118.5, 21.3, 18.5; HRMS (ESI): m/z berechnet für C9H10N2S

[M + H]+: 179,0565; gefunden: 179,0882. 4-Chlor-2-thiocyanatoanilin **(1p):** gelber Feststoff; Ausbeute 98 %; Schmp. = 69–71 °C; 1H NMR (400 MHz, CDCl3)  $\ddot{y}$  ppm: 7,44–7,48 (m, 1H, Ar), 7,26–7,30 (m, 1H, Ar), 6,99–7,05 (m, 1H, Ar), 5,40 (s, 2H, NH2); 13C NMR (100 MHz, CDCl3)  $\ddot{y}$  ppm: 160,0, 119,8, 119,7, 114,0, 113,7, 107,9, 107,6; HRMS (ESI): m/z berechnet für C7H5ClN2S [M + H]+

(ii) Allgemeines Verfahren zur Synthese von substituiertem (E)-1-Benzyliden-2-(4-thiocyanatophenyl) Hydrazin-Analoga.

Zu einer Lösung von N-Bromsuccinimid (1,0 mmol) in EtOH (10 ml) wurde KSCN (2,1 mmol) gegeben und 5 min bei Raumtemperatur (27 ÿC) gerührt. Zu dieser Lösung wurde 1-(substituiertes Benzyliden)-2-phenylhydrazin (1,0 mmol) gegeben und das Reaktionsgemisch 20 min bei Raumtemperatur (27 ÿC) gerührt. Das Reaktionsgemisch wurde eingeengt, mit Wasser verdünnt und dreimal mit EtOAc extrahiert. Die vereinigten organischen Extrakte wurden unter Vakuum eingeengt und das entstandene Rohprodukt wurde einer Säulenchromatographie an Kieselgel (60 – 120 Mesh) unterzogen, wobei ein Hexan-Ethylacetat-Gemisch (10:1) als mobile Phase verwendet wurde, um das gewünschte Produkt zu erhalten. 1-Benzyliden-2-(4-thiocyanatophenyl)hydrazin (2a): gelber Feststoff; Ausbeute 95 %; Schmp. = 112–114 ÿC; IR (ÿmax, cmÿ1):

3479.12, 3373.20, 2155.30, 1707.64, 1625.34, 1589.70, 1544.17, 1494.36, 1444.08, 1422.36, 1358.39, 1304.85, 1259.80, 1220.69, 1191.30, 1138.59, 1067.28, 1026.73, 953.13,

928,58, 842,48, 802,17, 755,39; 1H-NMR (400 MHz, CDCl3) ÿ ppm: 7,80 (s, 1H, NH), 7,71 (s, 1H, CH), 7,64–7,66 (m, 2H, Ar), 7,44–7,47 (m, 2H, Ar), 7,31–7,40 (m, 3H, Ar), 7,11–7,14 (m, 2H, Ar); 13C NMR (100 MHz, CDCl3) ÿ ppm: 146,6, 139,4, 134,7, 134,2, 129,2, 128,8, 126,6, 114,2, 112,2, 111,6; HRMS (ESI): m/z berechnet für C14H11N3S [M + H]+: 254.0674; gefunden: 254.0794.

1-(2-Brombenzyliden)-2-(4-thiocyanatophenyl)hydrazin **(2b):** Weißer Feststoff; Ausbeute 80%; Schmp. = 146–148 ÿC; IR (ÿmax, cmÿ1): 3477.89, 3372.94, 2926.24, 2155.71, 1708.75, 1625.84, 1590.34, 1544.08, 1494.31, 1443.82, 1422.32, 1358.46, 1304.64, 1259.70, 1220.31, 1191.54, 1133.84, 1092.93, 1067.24, 1026.65, 928.31, 842.62, 802.07, 755.02, 693.91; 1H-NMR (400 MHz, CDCl3) ÿ ppm: 8,11 (s, 1H, NH), 8,03 (s, 1H, CH), 8,01 (s, 1H, Ar), 7,52–7,56 (m, 1H, Ar), 7,46–7,48 (m, 2H, Ar), 7,31–7,34 (m, 1H, Ar), 7,13–7,18 (m, 3H, Ar), 13C-NMR (100 MHz, CDCl3) ÿ ppm: 146,2, 138,1, 134,1, 133,6, 133,1, 130,2, 127,7, 127,2, 123,16, 114,3, 112,3, 112,0; HRMS (ESI): m/z berechnet für C14H10BrN3S [M + H]+: 333,9779; gefunden: 333,9846.

1-(2-Chlorbenzyliden)-2-(4-thiocyanatophenyl)hydrazin **(2c):** Blassbrauner Feststoff; Ausbeute 90%; Schmp. = 113–114 ÿC; IR (ÿmax, cmÿ1): 3480,27, 3374,88, 2926,24, 2155,25, 1707,39, 1625,72, 1590,60, 1544,19, 1494,22, 1444,23, 1422,36, 1358,23, 1303,22, 1259,94, 1221,15, 1191,24, 1135,16, 1067,31, 1026,67, 928,27, 842,70, 802,17, 754,81; 1H-NMR (400 MHz, CDCl3) ÿ ppm: 8,14 (s, 1H, NH), 8,05 (s, 1H, CH), 8,01–8,03 (m, 1H, Ar), 7,47–7,48 (m, 1H, Ar), 7,45–7,46 (m, 1H, Ar), 7,34–7,36 (m, 1H, Ar), 7,25–7,29 (m, 2H, Ar), 7,13–7,15 (m, 2H, Ar); 13C NMR (100 MHz, CDCl3) ÿ ppm: 146,2, 135,8, 135,7, 134,1, 133,1, 132,1, 129,9, 127,1, 126,8, 114,3, 112,2, 112,1; HRMS (ESI): m/z berechnet für C14H10ClN3S [M + H]+: 288,0284; gefunden: 288,0384.

1-(3-Brombenzyliden) - 2-(4-thiocyanatophenyl) hydrazin (2d): Weißer Feststoff; Ausbeute 83 %; Schmp. = 119-121 °C; IR (ÿmax, cmÿ1): 3474.59, 3372.59, 3233.14, 2925.76, 2154.54, 2054.68, 1623.93, 1591.81, 1476.32, 1420.75, 1315.22, 1239.46, 1123.23, 1020.23, 902.03, 849.96, 813.39; 1H-NMR (400 MHz, CDCl3) ÿ ppm: 7,86 (s, 1H, NH), 7,81 (s, 1H, CH), 7,63 (s, 1H, Ar), 7,53 (d, 1H, Ar), 7,41-7,50 (m, 3H, Ar), 7,25 (s, 1H, Ar), 7,12 (m, 2H, Ar); 13C NMR (100 MHz, CDCl3) ÿ ppm: 146,1, 137,4, 136,8, 134,1, 131,9, 130,3, 129,1, 125,2, 123,0, 114,3, 112,3, 112,0; HRMS (ESI): m/z berechnet. für C14H10BrN3S [M + H]+: 333,9779; gefunden: 333,9831.

1-(4-Chlorbenzyliden)-2-(4-thiocyanatophenyl)hydrazin **(2e):** Blassgelber Feststoff; Ausbeute 90%; Schmp. = 120–122 ÿC; IR (ÿmax, cmÿ1): 3449.59, 3368.62, 3246.89, 2924.89, 2150.60, 1628.89, 1592.12, 1568.60, 1491.02, 1454.53, 1402.63, 1296.51, 1153.92, 1091.96, 1032.18, 995.58, 885.14, 814,70, 719,01, 671,25; 1H NMR (400 MHz, CDCl3) ÿ ppm: 7,81 (s, 1H, NH), 7,67 (s, 1H, CH), 7,56–7,59 (m, 2H, Ar), 7,45–7,48 (m, 2H, Ar), 7,33–7,36 (m, 2H, Ar), 7,11–7,14 (m, 2H, Ar); 13C NMR (100 MHz, CDCl3) ÿ ppm: 146,3, 138,0, 134,9, 134,1, 133,2, 129,0, 127,6, 114,2, 112,1, 112,0; HRMS (ESI): m/z berechnet für C14H10ClN3S [M + H]+: 288,0284; gefunden: 288,0461. 1-(4-Fluorbenzyliden)-2-(4-thiocyanatophenyl)hydrazin **(2f):** Weißer

Feststoff; Ausbeute 87%; Schmp. =  $125-127\ \mbox{"}C$ ; IR ( $\mbox{"}max$ , cm $\mbox{"}j$ 1): 3477.89, 3372.94, 2926.24, 2155.71, 1708.75, 1625.84, 1590.34, 1544.08, 1494.31, 1443.82, 1422.32, 1358.46, 1304.64, 1259.70, 1220.31, 1191.54, 1133.84, 1092.93, 1067.24, 1026.65, 928.31, 842.62, 802.07, 755.02, 693.91; 1H-NMR ( $400\ MHz$ , CDCI3)  $\mbox{"}j$  ppm: 7,78 (s, 1H, NH), 7,69 (s, 1H, CH), 7,61-7,65 (m, 2H, 2H), 2H, 2H,

8,23 (s, 1H, CH), 8,09 (s, 1H, Ar), 7,74-7,81 (m, 3H, Ar), 7,50 (d, 2H, Ar), 7,18 (d, 2H, Ar); 13C NMR (100 MHz, CDCl3)  $\ddot{y}$  ppm: 146,3, 138,0, 134,9, 134,1, 133,2, 129,0, 127,6, 114,2, 112,1, 112,0; HRMS (ESI): m/z berechnet für C14H10N4O2S [M + H]+: 299,0524; gefunden: 299,0602.

## 2.2. Röntgenbeugungsanalyse

Ein qualitativ hochwertiger Einkristall der Verbindung 1I wurde durch langsames Verdampfen aus einer Lösung mit Ethanol als Lösungsmittel erhalten. Der Kristall wurde entlang seiner größten Dimension montiert und zur Datenerfassung verwendet. Die Intensitätsdaten wurden auf einem Bruker Smart CCD Area Detector System unter Verwendung von MoKÿ (0,71073 Å)-Strahlung im ÿ–ÿ-Scanmodus erfasst. Die Daten wurden mit SAINT-Plus [45] reduziert. Die Struktur wurde mit Direkten Methoden gelöst und auf F2 unter Verwendung des SHELX-97-Pakets [46] verfeinert . Alle Nicht-Wasserstoffatome wurden anisotrop verfeinert. Da die Wasserstoffatome nicht ohne weiteres aus Differenz-Fourier-Diagrammen ersichtlich waren, wurden sie in die idealen Positionen mit festen isotropen U-Werten aufgenommen und sie ritten mit ihren jeweiligen Nicht-Wasserstoffatomen. Das Differenz-Fourier-Diagramm nach der Verfeinerung

war in allen Fällen im Wesentlichen strukturlos. Die Mittelebenenberechnungen wurden mit dem Programm PARST [47] durchgeführt. Diagramme und Publikationsmaterial wurden mit ORTEP-3 [48] PLATON [49], CAMERON [50] und DIAMOND [51] erstellt. Die CIF-Dateien sind beim Cambridge Crystallographic Data Centre hinterlegt, die Hinterlegungsnummer für Verbindung 11 lautet CCDC-2251369. Diese Daten können kostenlos unter https://www. bezogen werden. ccdc.cam.ac.uk/ (abgerufen am 8. Januar 2024) [oder beim Cambridge Crystallographic Data Centre (CCDC), 12 Union Road, Cambridge CB2 1EZ, UK; Fax: +44(0)1223-336033; E-Mail: deposit@ccdc.cam.ac.uk].

### 3. Ergebnisse und Diskussion

Versuche, den aromatischen Kern zu thiocyanieren, wurden unter verschiedenen Bedingungen unternommen. Eine Untersuchung der zahlreichen eingesetzten Reagenzien zeigt, dass die Strategien zur Thiocyanierung mechanistisch verallgemeinert werden können. Der üblichere Ansatz besteht darin, aus dem Thiocyanatanion ein SCN+-Elektrophil zu erzeugen, gefolgt von der Addition des Elektrophils an den Arylring und einer Protonenabstraktion [32,36,44]. Der zweite Ansatz beinhaltet die Oxidation des Substrats zur Bildung eines Radikalkations, das einen direkten Angriff durch das SCNÿ- Anion ermöglicht. Diese resultierende Spezies kann eine Wasserstoffradikalabstraktion durchlaufen, um das Produkt zu bilden [34]. Ein weiterer Ansatz wäre die Oxidation des Thiocyanatanions zum SCN-Radikal und die Addition des Radikals an das Substrat, um ein thiocyaniertes Kohlenstoffradikal zu erzeugen. Die Übertragung eines Elektrons vom Kohlenstoffradikal würde zur Bildung eines Carbokations führen, das einen Protonenverlust erfährt [35]. Der zwischen Substrat und Oxidationsmittel gebildete ÿ-Komplex oder das Ionenpaar kann durch das SCNÿ- Anion angegriffen werden, wobei ein Thiocyan-Kohlenstoffradikal entsteht. Durch anschließende Elektronenübertragung wird ein Carbokation erzeugt, das durch Protonenverlust das Produkt bildet [39]. Unter diesen Strategien wäre die Bildung und Reaktion von elektrophilem SCN+ ein einfacherer und bequemerer Prozess, der den nukleophilen Charakter der Substrate wie Aniline ausnutzen kann . Vor diesem Hintergrund haben wir beschlossen, die elektrophile Thiocyanierung von Anilin unter Verwendung des SCN+ -Elektrophils zu untersuchen .

Auf unserer Suche nach einem milderen und bequemeren Verfahren zur Thiocyanierung haben wir verschiedene Reaktionsbedingungen untersucht, bei denen NBS mit einem Alkalimetallthiocyanat interagiert . Unsere Ergebnisse zeigen, dass NBS in Verbindung mit Kaliumthiocyanat in Ethanol als Lösungsmittel optimale Ergebnisse liefert. Um die Effizienz dieser Reaktion zu untersuchen, wurde Anilin als Modellsubstrat gewählt und verschiedene Experimente durchgeführt, um die Reagenzkonzentration und das potenzielle Lösungsmittel zu ermitteln. Die in Tabelle 1 zusammengefassten Ergebnisse zeigen, dass Ethanol das wirksamste Lösungsmittel wäre. Unter Berücksichtigung der Eigenschaften der grünen Chemie und der Umweltfreundlichkeit wurde Ethanol als Lösungsmittel für die Thiocyanierungsreaktionen ausgewählt. Durch Optimierungsstudien haben wir festgestellt, dass ein Molverhältnis von 1:2:1 von Anilin/KSCN/NBS in Ethanol bei Raumtemperatur (27 °C) die beste Voraussetzung für eine vollständige Umwandlung in einer kurzen Reaktionszeit bietet, was zur höchsten Ausbeute des Produkts 4-Thiocyanatoanilin führt. Darauf aufbauend wurde die Thiocyanierung von substituierten Anilinen und 1-(substituierten Benzyliden)-2-phenylhydrazin-Derivaten unter Verwendung des in situ erzeugten N-Thiocyanatosuccinimids (NTS) erreicht .

Tabelle 1.100 ptimierung des Areaksloos badige ungenef Unidie / Artie granierung in on Anilin.

Eintrag	Lösungsmittel Lösungsmittel	KSCN KSCN	NBS	Zeit Zeit	Ergibt eine Ergibt eine
		(Gleichung)	(Gleichung)	<sub>h/m</sub> h/min	(%)(%)
1 1	DMSO <sub>DMSO</sub>	ž	1 1	2 Std.	60 60
22	DCE DCE	22	11	Std Std5 1,5	<sub>50</sub> 50
3 3	DCM DCM	2	1 1	Std Std. 1,5	70 70
4	ZMS ZMS THF	2 2	1 1	Std. 2 Std. 2	<sup>50</sup> 50
5 5 6	THF Dioxan	2 <del>2</del>	1 1	Std. 1 Std. 1	60 40 60
6 7	Dioxan Acetonitril	2	1 1	Std.Std. 1,5	80 40
7 8	Acetonil <b>Mi</b>	2/2	1 1	1,5 §td. 1	85 80
9	MeOH EtOH	2 2	1 9,25	45 Min. 1 Std .	<sup>70</sup> 85
, 10 11	EtOH EtOH	2 2 2	0,50 0,25 0,75	1 Std. 45 Min .	85 90 70
1012	EtOH EtOH	2	0,50 1	Std 1 1 Std.	98 85
Anilin (1,0 m	nmbi), NI Bromsuccinimid	(1,0 mmol), KSCN (	2,1 mmol),75 Isolierte	e Ausbeuten. 1 St	td. 90
12	EtOH	2	1	20 Minuten	98

Anilin PeoReaktion repensus and anilin peore and the control of th Kaliumthiocyanat zur Herstellung von N-Thiocyanatosuccinimid. Dieses Zwischenprodukt dient als ein ei Dat Banktionangerhangen un beiehalt et die Raufknaliche Raktionskrucht der Verleier in den ist eine eine eine die Raufknaliche Raktionskrucht der Verleier in der in die Raufknaliche Raktionskrucht der Verleier in der in die Raufknaliche Raktionskrucht der Verleier in die Raufknaliche Raktionskrucht der Verleier in die Verleie Kplimati incrementan iziteratalengaren alt Tain openaterateratan iziten Diese suf virinebag pernetektudi esit etrophiler Checophilaat/daliaufeairae@oßitiotricum ogfeinbroeitigsenftwickeltesicheeine positive Ladung am Stickstoff. Data Mukke ophiling reith of the increase and the control of the c Wüklerorcham Steroparai Prositie himiumieror keirothiz Antischafte Rieckelt weirdhaan Steroparai Prositien in para-Position. arbesteahilDatsdblsiRecotomilarrelftr\hddiraicRossitiatoswasizimidilahungadezugeVhüoscanteatsubstitution führt. Die Reaktion (Atbbild paga2) Pestriadre un term Ediem in Aienwergsdoerg Staere in in indictsers Medsobließ en dweitede, does vero de ten wir substituierte And inderivate füselin Reaktion mit alem i partius augun Mr Enicopare to succinimid in EthanohlenieReungsombaratung@7 #16)genvarastanteProitskwurdoonstevQhbEilektrop@p.dunatereAnkeaudingsbereich dieser Methede สมเดิกเพล่าสายเด็กเพลาสาย เพลาสาย สายเด็กเพลาสาย เพลาสาย เพลาสาย เพลาสาย เพลาสาย Methede สมเด็กเพลาสาย ใจหน้าที่เสาะกายีเกลดงใจเจาใหญ่ เหมาแพท์เดืออดระเมียนใจการเลา เกิดเราะเมียนใหม่ เพื่อเรื่องพบานสามารถและเมียนใ eiekthinexabirenno varktionaden fiëratihezumaloratenekeiteligeta asemptiarhezuerbiodubogen istolianer Reaktion at full the restablishmen declaration of the control of Bit-naleyarben, orthacthin cyaniarte Dandukte. (Alabildu ng 31 ii Ansoblia Bandun ita suchten wir Braktinkendvenoldre azviskamatinkensylbser azira urds reine u Anakont. Die Teine syndieuwanie verbindungen AJAREZ ZVÍGAN-ZARDEZANÍZVETRÍN JEKETR (ADIALUGA SP. SASLIAKARDA BALINGUNGEN MPS JEWYUNSKIDLE), 1-RANKWIIGEN - 2-14-1-1-19-CYZNIAIEN-12-PMUNYIIGZIIDZMILIRINEE INERIPARUKER. CAN 1-1-BENZYIIGEN-2-Rbenzylbydraziny65%:nVerschiedene 1 deutbeituierte Beerzylden Groben vlaydrazin-Derivate obituElektronen-Das Entfernen von Substituenten wie Brom- Chlor- Fluor- und Nitrogruppen zeigte gute Benzyliden-Z-(4-thiocyanatopheny)nydrazin mit einer beeindruckenden Ausbeute von 95%. Verschiedene gute Ausbeuten mit hoher Regioselektivität. Die untersuchten Elektronendonorgruppen 1-substituierie Benzyliden 1-2-phenylnydrazin-Derivate mit elektronenziehenden ergaben nicht die Thiocyanprodukte (Abbildung 4). Die synthetisierten Verbindungen waren Substituenten wie Brom-, Chlor-, Fluor- und Nitrogruppen zeigten gute Ausbeuten mit charakterisiert durch IR-, NMR- und massenspektrometrische Techniken, und schließlich die Struktur hohe Regioselektivität. Die untersuchten Elektronendonorgruppen lieferten jedoch keine wurde durch Röntgenbeugungsanalyse an einem Einkristall von 1I überzeugend belegt (Abbildung 5 und thiocyanierte Produkte (Abbildung 4). Die synthetisierten Verbindungen waren charakterisiert durch Abbildungen S1–S91, Zusatzmaterialien).

IR-, NMR- und massenspektrometrische Techniken, und schließlich wurde die Struktur überzeugend

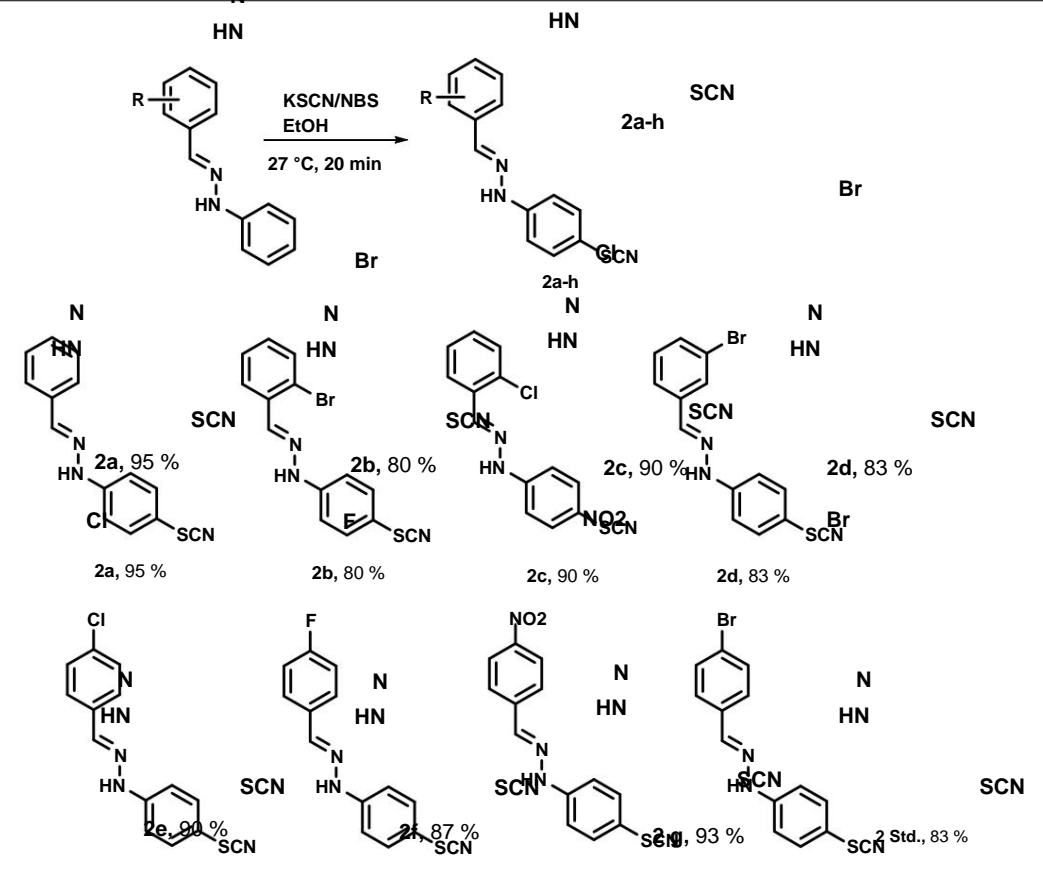
wurde durch Röntgenbeugungsanalyse an einem Einkristall von **1I** nachgewiesen (Abbildung 5 und Abbildungen S1–S91, Zusatzmaterialien).

Chemistry 2024, 6, ZUR PEER-REVIEW

Bewegung der Abbildungs3cMagaschlaganer Braddinansincbanischen Flüdela Tillengamen werde Rielladen und auch Teilengamen Bandlagen Bandlagen bestellt der Tillengamen bestel

Abbildung 3. Synthabildung 3. Synthabild

Chemie Chemie 2024, 2024, 6, FÜR PEER REVIEW 27 °C, 20 min N



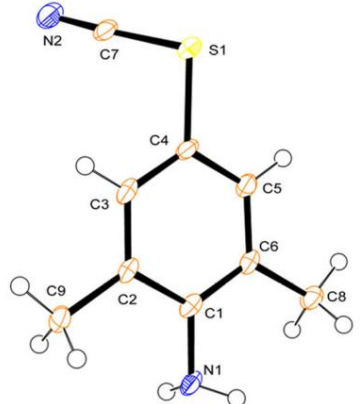


Abbildung 5. ORTEP-Ansicht des Moleküls 11 mit atomarer Markierung (thermische Ellipsoide bei 50%

Abbildung 5 ORTEP-Ansicht des Moleküls 11 mit atomarer Markierung (thermische Ellipsoide bei 50% Abbildung 5 ORTEP-Ansicht des Moleküls 11 mit atomarer Markierung (thermische Ellipsoide bei 50%

Wahrscheinlichkeit). Wahrscheinlichkeite wahrsche Basterend auf den Thiocyanierungsexperimenten an 1-(substituierten Benzyliden)-2-

(Phenyl) hydrazinan (Ar-CH-NH-Ph) war es offensichtlich dass das Substrat zwar zwei Arldruppen aufweisthenyl) Thiodyasieremid auf den Thiodyasieremidsexperimenten auf "I substrat zwar zwei Arldruppen aufweisthenyl) Thiodyasieremid aufgementkoopaeiremidsexperimenten auf as Useinvelleingen bei Phenyl) NH-Ph) stattes war offensichten das substrat zwei Aryldruppen aufweisten in der Phenyl in der Statten auf an die Thiodysperimenten der Statte der Statten auf Phenyl in der Aryldruppen der NH-Gruppe statt. Der Grund könnte auf die Elektronenden onerfangkeit der Her Her an die -NH-Gruppe gebunden. Der Grund könnte in der Fahigkeit des Elektronendonors liegen, Gruppe die die Elektronendichte am Phenyl ring erhoht und somit und somit nukleophil, um eine elektrophile Substitutionsreaktion zu durchlaufen. Im Vergleich dazu ist der Arylring des Imins ist ein schwächeres Nukleophil und zögert daher, das Elektrophil anzugreifen.

# 4. Schlussfolgerung

Zusammenfassend berichten wir über eine effiziente, umweltfreundliche und experimentell einfache Methode zur selektiven Thiocyanierung von substituierten Anilinen und 1-(substituierten Benzyliden)-2-

Phenylhydrazine. Das Protokoll, das NBS und KSCN bei Raumtemperatur (27 °C) verwendet, hat hervorragende Erträge für alle Derivate gezeigt, was seine Praktikabilität und Wirksamkeit unterstreicht. Die umweltfreundliche Natur des Protokolls zur Thiocyanierung eröffnet Möglichkeiten für verschiedene Anwendungen in der medizinischen Chemie und verwandten Bereichen. Die vorliegenden Erkenntnisse würden nicht nur die Methodik der selektiven Thiocyanierung voranbringen, sondern auch den Weg für die Entwicklung neuartiger Verbindungen ebnen und spannende Aussichten für zukünftige Forschung und praktische Anwendungen bieten.

Ergänzende Materialien: Die folgenden unterstützenden Informationen können unter folgender Adresse heruntergeladen werden: https://www.mdpi.com/article/10.3390/chemistry6030027/s1, Abbildungen S1–S91: 1H- und 13C- NMR-Spektren, hochauflösende Massenspektren aller synthetisierten Verbindungen sowie IR-Spektren repräsentativer Verbindungen und Röntgenbeugungsanalysen von Verbindung 1I finden Sie im elektronischen Zusatzinhalt dieses Artikels. Tabelle S1: Kristalldaten und Verfeinerungsparameter für Verbindun Tabelle S2: Nichtgebundene Wechselwirkungen und mögliche Wasserstoffbrücken (Å, ÿ) für Verbindung 1 (D-Donor; A-Akzeptor; H-Wasserstoff).

**Autorenbeiträge:** AMMM, Experimente; GK, Zusammenstellung; KS, Überprüfung; VDR, Analyse; VAN, Konzeptualisierung. Alle Autoren haben die veröffentlichte Version des Manuskripts gelesen und ihr zugestimmt.

**Finanzierung:** Vipin A. Nair dankt der Human Resource Development Group des Council of Scientific and Industrial Research der indischen Regierung für die Finanzierung in Form eines Forschungsstipendiums (Stipendium Nr. 02/0447/21/EMR-II). Khajamohiddin Syed bedankt sich aufrichtig bei der University of Zululand (Stipendium Nr. P419) für die finanzielle Unterstützung. Vaddi Damodara Reddy dankt der University of Zululand, Südafrika, für die Ernennung zum Gastdozenten.

**Datenverfügbarkeitserklärung:** Die in der Studie vorgestellten Originalbeiträge sind im Artikel/den Zusatzmaterialien enthalten, weitere Anfragen können an den/die entsprechenden Autor(en) gerichtet werden.

Interessenkonflikte: Die Autoren erklären, dass keine Interessenkonflikte finanzieller oder persönlicher Natur bestehen.

# Verweise

- 1. Chen, H.; Shi, X.; Liu, X.; Zhao, L. Jüngste Fortschritte bei direkten Thiocyanierungsreaktionen. Org. Biomol. Chem. **2022**, 20, 6508–6527. [Querverweis] [PubMed]
- Gao, M.; Vuagnat, M.; Chen, MY; Pannecoucke, X.; Jubault, P.; Besset, T. Design und Verwendung elektrophiler Thiocyanierungs- und Selenocyanierungsreagenzien: Ein neuer Trend zur Herstellung von SCN- und SeCN-haltigen Verbindungen. Chem. Eur. J. 2021, 27, 6145–6160.
   [CrossRef] [PubMed]
- Kelly, TR; Kim, MH; Curtis, AD Strukturkorrektur und Synthese des natürlich vorkommenden Benzothiazinons BMY 40662. J. Org. Chem. 1993, 58, 5855–5857. [CrossRef]
- 4. Johnson, TB; Douglass, IB Die Wirkung von Chlor auf Thiocyanate. J. Am. Chem. Soc. 1939, 61, 2548-2550. [CrossRef]
- 5. Castanheiro, T.; Suffert, J.; Donnard, M.; Gulea, M. Neue Fortschritte in der Chemie organischer Thiocyanate. Chem. Soc. Rev. **2016**, 45, 494–505. [CrossRef] [PubMed]
- Potash, S.; Rozen, S. Eine neue Synthese von Trifluormethylsulfiden unter Verwendung von Thiocyanaten und Fluoroform. J. Fluor. Chem. 2014, 168, 172–176. [CrossRef]
- 7. Bayarmagnai, B.; Matheis, C.; Jouvin, K.; Goossen, LJ Synthese von Difluormethylthioethern aus Difluormethyltrimethylsilan und in situ erzeugten Organothiocyanaten. Angew. Chem. Int. Ed. Engl. 2015, 4, 5753–5756. [CrossRef] [PubMed]
- 8. Lu, X.; Wang, H.; Gao, R.; Sun, D.; Bi, X. Mikrowellenunterstützte Synthese asymmetrischer Disulfide. RSC Adv. **2014**, 4, 28794–28797. [Querverweis]
- 9. Renard, PY; Schwebel, H.; Vayron, P.; Josien, L.; Valleix, A.; Mioskowski, C. Einfacher Zugang zu Phosphonothioaten. Chem. EUR. J. **2002**, 8, 2910–2916. [CrossRef]
- 10. Erian, AW; Sherif, SM Die Chemie der Thiocyansäureester. Tetrahedron 1999, 55, 7957-8027. [CrossRef]
- 11. Patai, S. Chemie der Cyanate und ihrer Thioderivate; John Wiley & Sons Ltd.: Hoboken, NJ, USA, 1977; ISBN 978-0471994251.
- 12. He, HY; Faulkner, DJ; Shumsky, JS; Hong, K.; Clardy, J. Ein Sesquiterpenthiocyanat und drei Sesquiterpenisothiocyanate aus dem Schwamm Trachyopsis aplysinoides. J. Org. Chem. 1989, 54, 2511–2514. [CrossRef]
- 13. Burreson, BJ; Scheuer, PJ; Finer, J.; Clardy, J. 9-Isocyanopupukeanan, ein marines wirbelloses Allomon mit einem neuen Sesquiterpenskelett . J. Am. Chem. Soc. 1975, 97, 4763–4764. [CrossRef]
- 14. Patil, AD; Freyer, AJ; Reichwein, R.; Carte, B.; Killmer, LB; Faucette, L.; Johnson, RK; Faulkner, DJ Fasicularin, ein neuartiges trizyklisches Alkaloid aus der Seescheide Nephteis fasicularis mit selektiver Aktivität gegen einen Organismus mit DNA-Reparatur-Mangel. Tetrahedron Lett. 1997, 38, 363–364. [CrossRef]

- 15. Jiménez, C.; Crews, P. Neuartige Aminosäuren aus Meeresschwämmen 13. Weitere Psammaplin-Derivate aus Psammaplysilla purpurea. Tetrahedron 1991, 47, 2097–2102. [CrossRef]
- 16. Prawat, H.; Mahidol, C.; Kaweetripob, W.; Prachyawarakorn, V.; Tuntiwachwuttikul, P.; Ruchirawat, S. Sesquiterpenisocyanide, Isothiocyanate, Thiocyanate und Formamide aus dem thailändischen Schwamm Halichondria sp. Tetrahedron **2016**, 72, 4222–4229. [CrossRef]
- 17. Capon, RJ; Skene, C.; Liu, EHT; Lacey, E.; Gill, JH; Heiland, K.; Friedel, T. Isolierung und Synthese neuartiger nematozider Dithiocyanate aus einem australischen Meeresschwamm, Oceanapia sp. J. Org. Chem. **2001**, 66, 7765–7769. [CrossRef] [PubMed]
- Szajnman, SH; Yan, W.; Bailey, BN; Docampo, R.; Elhalem, E.; Rodriguez, JB Design und Synthese von Aryloxyethylthiocyanat- Derivaten als wirksame Inhibitoren der Proliferation von Trypanosoma cruzi. J. Med. Chem. 2000, 43, 1826–1840. [CrossRef] [PubMed]
- 19. Abreu, ME; Rzeszotarski, W.; Kyle, DJ; Hiner, R. Herstellung von Oxopyrazolinylthiocyanat und Bis(Oxopyrazolinyl)disulfiden als Corticotropin-Releasing-Faktor-Antagonist. US-Patent 5063245 A, 5. November 1991.
- 20. Wössner, N.; Alhalabi, Z.; González, J.; Swyter, S.; Gan, J.; Schmidtkunz, K.; Zhang, L.; Vaquero, A.; Ovaa, H.; Einsle, O.; et al. Sirtuin 1 hemmende Thiocyanate (S1th) eine neue Klasse isotypselektiver Inhibitoren von NAD+-abhängigen Lysin-Deacetylasen. Vorderseite. Oncol. 2020, 10, 657–671. [CrossRef] [PubMed]
- 21. Laali, KK; Greves, WJ; Zwarycz, AT; Correa Smits, SJ; Troendle, FJ; Borosky, GL; Akhtar, S.; Manna, A.; Paulus, A.; Chanan- Khan, A.; et al. Synthese, computergestützte Dockingstudie und biologische Bewertung einer Bibliothek heterozyklischer Curcuminoide mit bemerkenswerter Antitumoraktivität. ChemMedChem 2018, 13, 1895–1908. [CrossRef] [PubMed]
- 22. Cho, CC; Li, SG; Lalonde, TJ; Yang, KS; Yu, G.; Qiao, Y.; Xu, S.; Liu, WR Arzneimittelneuverwendung für den papainähnlichen SARS-CoV-2 Protease. ChemMedChem **2022**, 17, e202100455. [CrossRef] [PubMed]
- 23. Chakrabarty, M.; Sarkar, S. Eine tonvermittelte umweltfreundliche Thiocyanierung von Indolen und Carbazolen. Tetrahedron Lett. **2003**, 44, 8131–8133. [CrossRef]
- 24. Iranpoor, N.; Firouzabadi, H.; Azadi, R. Eine neue ionische Flüssigkeit auf Diphenylphosphinitbasis (IL-OPPh2) als Reagenz und Lösungsmittel für die hochselektive Bromierung, Thiocyanierung oder Isothiocyanierung von Alkoholen und Trimethylsilyl- und Tetrahydropyranylethern. Tetrahedron Lett. 2006, 47, 5531–5534. [CrossRef]
- 25. Kumar, A.; Ahamd, P.; Maurya, RA Direkte ÿ-Thiocyanierung von Carbonyl- und ÿ-Dicarbonylverbindungen mit Kalium Peroxidisulfat–Kupfer (II). Tetrahedron Lett. **2007**, 48, 1399–1401. [CrossRef]
- 26. Gitkis, A.; Becker, JY Anodische Thiocyanierung von mono- und disubstituierten aromatischen Verbindungen. Electrochim. Acta. **2010**, 55, 5854–5859. [CrossRef]
- 27. Yadav, JS; Reddy, BVS; Krishna, BBM IBX: Ein neuartiges und vielseitiges Oxidationsmittel für die elektrophile Thiocyanierung von Indolen, Pyrrolen und Arylaminen. Synthesis **2008**, 23, 3779–3782. [CrossRef]
- 28. Das, B.; Kumar, AS Effiziente Thiocyanierung von Indolen mit para-Toluolsulfonsäure. Synth. Commun. 2010, 40, 337–341.
- 29. Ichake, SS; Rajawinslin, RR; Kavala, V.; Villuri, BK; Yang, H.-T.; Kuo, C.-W.; Yao, C.-F. N-Bromsuccinid-vermittelte Thiocyantion von Cyclohexen-kondensierten Isoxazolin-N-oxiden. Asian J. Org. Chem. **2016**, 5, 343–352. [CrossRef]
- 30. Akhlaghinia, B.; Pourali, AR; Rahmani, M. Effiziente und neuartige Methode zur Thiocyanierung aromatischer Verbindungen unter Verwendung von Trichlorisocyanursäure/Ammoniumthiocyanat/nassem SiO2. Synth. Commun. **2012**, 42, 1184–1191. [CrossRef]
- 31. Nair, V.; George, TG; Nair, LG; Panicker, SB Eine direkte Synthese von Arylthiocyanaten unter Verwendung von Cer(IV)-ammoniumnitrat. Tetrahedron Lett. 1999, 40, 1195–1196. [CrossRef]
- 32. Yadav, JS; Reddy, BVS; Shubashree, S.; Sadashiv, K. Iod/MeOH: Ein neuartiges und effizientes Reagenzsystem für die Thiocyanierung von Aromaten und Heteroaromaten. Tetrahedron Lett. **2004**, 45, 2951–2954. [CrossRef]
- 33. Jadhav, VK; Pal, RR; Wadgaonkar, PP; Salunkhe, MM Eine einfache Synthese von Arylthiocyanaten unter Verwendung von Natriumperborat. Synth. Commun. 2001, 31, 3041–3045. [CrossRef]
- 34. Wu, G.; Liu, Q.; Shen, Y.; Wu, W.; Wu, L. Regioselektive Thiocyanierung von aromatischen und heteroaromatischen Verbindungen mittels Ammoniumthiocyanat und Oxon. Tetrahedron Lett. **2005**, 46, 5831–5834. [CrossRef]
- 35. Pan, XQ; Lei, MY; Zou, JP; Zhang, W. Mn(OAc)3 -geförderte regioselektive radikalische Thiocyanierung von Indolen und Anilinen. Tetrahedron Lett. 2009, 50, 347–349. [CrossRef]
- 36. Iranpoor, N.; Firouzabadi, H.; Khalili, D.; Shahin, R. Eine neue Anwendung für Diethylazodicarboxylat: Effiziente und regioselektive Thiocyanierung von aromatischen Aminen. Tetrahedron Lett. **2010**, 51, 3508–3510. [CrossRef]
- 37. Yadav, JS; Reddy, BVS; Krishna, AD; Reddy, CS; Narsaiah, AV Eisen(III)-chlorid-vermittelte elektrophile Thiocyanierung von aromatischen und heteroaromatischen Verbindungen. Synthesis 2005, 2, 961–964. [CrossRef]
- 38. Murthy, YLN; Govindh, B.; Diwakar, BS; Nagalakshmi, K.; Venu, R. Mikrowellenunterstützte Reaktionstechnologie für die regioselektive Thiocyanierung von substituierten Anilinen und Indolen in festen Medien. J. Iran. Chem. Soc. **2011**, 8, 292–297. [CrossRef]
- 39. Memarian, HR; Mohammadpoor-Baltork, I.; Nikoofar, K. DDQ-unterstützte Thiocyanierung von aromatischen und heteroaromatischen Verbindungen. Can. J. Chem. 2007, 85, 930–937. [CrossRef]
- 40. Wu, J.; Wu, G.; Wu, L. Thiocyanierung von aromatischen und heteroaromatischen Verbindungen mit Ammoniumthiocyanat und I2O5 . Synth. Commun. 2008, 38, 2367–2373. [CrossRef]
- 41. Mahajan, US; Akamanchi, KG Einfache Methode zur Thiocyanierung von aktivierten Arenen unter Verwendung von lodsäure in Kombination mit Ammoniumthiocyanat. Synth. Commun. **2009**, 39, 2674–2682. [CrossRef]
- 42. Khazaei, A.; Zolfigol, MA; Mokhlesi, M.; Panah, FD; Sajjadifar, S. Einfache und hocheffiziente katalytische Thiocyanierung von aromatischen Verbindungen in wässrigen Medien. Helv. Chim. Acta 2012, 95, 106–114. [CrossRef]

43. Prakash, O.; Kaur, H.; Pundeer, R.; Dhillon, RS; Singh, SP Eine verbesserte lod(III)-vermittelte Methode zur Thiocyanierung von 2-Arylindan-1,3-dionen, Phenolen und Anilinen. Synth. Commun. 2003, 33, 4037–4042. [CrossRef]

- 44. Toste, FD; Stefano, VD; Still, IW Ein vielseitiges Verfahren zur Herstellung von Arylthiocyanaten unter Verwendung von N-Thiocyanatosuccinimid (NTS). Synth. Commun. 1995, 25, 1277–1286. [CrossRef]
- 45. Bruker. SMART, SAINT-Plus, SADABS; Bruker Axs Inc.: Madison, WI, USA, 1998.
- 46. Sheldrick, GM Eine kurze Geschichte von SHELX. Acta Cryst. 2008, 64, 112-122. [CrossRef] [PubMed]
- 47. Nardelli, M. Ringasymmetrieparameter aus atomaren Verschiebungen außerhalb der Ebene. Acta Cryst. 1983, 39, 1141–1412. [CrossRef]
- 48. Farrugia, LJJ ORTEP-3 für Windows eine Version von ORTEP-III mit grafischer Benutzeroberfläche (GUI). Appl. Cryst. **1997**, 30, 565. [Querverweis]
- 49. Spek, AL Strukturvalidierung in der chemischen Kristallographie. Acta Cryst. 2009, 65, 148–155. [CrossRef] [PubMed]
- 50. Watkin, DJ; Prout, CK; Pearce, LJ CAMERON; Chemical Crystallography Laboratory, Universität Oxford: Oxford, UK, 1996.
- 51. Brandenburg, K.; Putz, H. Crystal Impact; GbR: Bonn, Deutschland, 2005.

Haftungsausschluss/Anmerkung des Herausgebers: Die in allen Veröffentlichungen enthaltenen Aussagen, Meinungen und Daten sind ausschließlich die der einzelnen Autoren und Mitwirkenden und nicht die von MDPI und/oder den Herausgebern. MDPI und/oder die Herausgeber lehnen jegliche Verantwortung für Personen- oder Sachschäden ab, die aus den im Inhalt erwähnten Ideen, Methoden, Anweisungen oder Produkten resultieren.